

## RCGA를 이용한 외란제거용 PID 제어기의 동조규칙

김민정\* · 이윤형\*\* · 소명옥\*\*\* · 하윤수 · 황승욱\*\*\*\* · 진강규†

(원고접수일 : 2006년 10월 17일, 심사완료일 : 2007년 5월 24일)

### Tuning Rules of the PID Controller Using RCGAs

Min-Jung Kim\* · Yun-Hyung Lee\*\* · Myung-Ok So\*\*\* · Yun-Soo Ha\*\*\*\* ·  
Sung-Wook Hwang · Gang-Gyoo Jin†

**Abstract :** The new tuning rules of the PID controller for the rejection of load disturbance are proposed incorporating with real-coded genetic algorithms(RCGAs). The optimal gain parameters of the PID controller for a first-order plus time delay model are obtained based on a RCGA. Then tuning formula are derived using the tuned parameters sets, potential tuning rule models and another RCGA. The performance criteria of the controller are adopted as ISE, IAE and ITAE. A series of simulation are carried out to verify the effectiveness of the proposed tuning rules.

**Key words :** PID controller(PID 제어기), tuning rule(동조규칙), real-coded genetic algorithm(실수코딩유전알고리즘), performance criteria(성능지수).

### 1. 서 론

근래 제어이론의 급속한 발전에도 불구하고 아직도 대부분의 산업현장에서는 PID 제어기가 사용되고 있다<sup>[1]</sup>. 이는 PID 제어기가 현장에서 요구되는 제어목적을 충분히 만족시키면서 구조가 단순하여 하드웨어적으로 실현하기가 쉽고 조정해야 할 계수의 수가 적어 현장 기술자에게 친숙하기 때문이다. PID 제어기는 사용 환경에 따라 설정치 추종성능 또는 외란억제 성능을 개선하도록 구분되어 동조된다. 지금까지 많은 동조규칙들<sup>[2]</sup>이 제안되어 왔으

나 아직도 대부분의 제어시스템 설계 시 경험과 실험을 바탕으로 하는 동조법이 기본적으로 이용되고 있다. 대표적인 것으로는 Ziegler와 Nichols (Z-N)<sup>[3]</sup>의 개루프 동조법(과도응답법)과 폐루프 동조법(한계감도법)이 있고, Cohen-Coon(C-C) 동조법 등이 있다. 이와 같은 고전적인 방법들은 실제 시스템 응답이 외란이나 잡음에 대해 민감하여 정확한 매개변수를 결정하기 어렵고, Z-N의 한계감도법은 시스템의 안전성이 중시되는 한 적용하기 어려운 문제점이 있다. 그리하여 최근에는 유전 알고리즘(Genetic algorithm: GA)을 이용하여

\* 교신저자(한국해양대학교 IT공학부), E-mail: ggjin@hhu.ac.kr, Tel: 051)410-4341

\*\* 한국해양대학교 대학원 제어계측공학과

\*\*\* 한국해양대학교 대학원 메카트로닉스공학과

\*\*\*\* 한국해양대학교 선박전자기계공학부

\*\*\*\*\* 한국해양대학교 IT공학부

체계적인 동조방법을 얻기 위한 연구가 진행되고 있다. Peter와 Jones<sup>[4]</sup>는 복잡한 다변수 시스템을 대상으로 디지털 PID 제어기의 동조 문제에 GA를 적용하였고, Wu<sup>[5]</sup>는 신경회로망으로 학습한 제어대상과 GA를 기반으로 PID 제어기를 동조하는 문제를 다루었고, 김<sup>[6]</sup> 등은 RCGA를 이용하여 설정치 추종용 PID 제어기의 동조규칙을 제안하였고, 신<sup>[7]</sup> 등은 의사병렬유전알고리즘을 이용하여 시스템의 파라미터를 추정하고 디지털 PID 제어기를 동조하는 일련의 연구를 수행한 바 있다.

본 연구에서는 설정치는 고정되고 부하외란만 변동되는 환경에서 운전되는 PID 제어기의 외란제거 성능을 개선해주는 동조규칙을 얻는 문제를 다룬다. 이를 위해 먼저 RCGA를 이용하여 주어진 세 성능지수(ISE, IAE, ITAE)를 최소로 하는 관점에서 최적계수를 구하고, 여기서 발생하는 최적화 문제는 RCGA로 해결한다. 구한 최적계수와 동조 규칙 모델 그리고 또 다른 RCGA를 이용하여 최종적으로 일반화된 동조규칙을 얻는다. 제안하는 방법은 시뮬레이션을 통해 기존의 방법과 비교하여 그 효용성을 입증한다.

## 2. PID 제어시스템의 구성

현장에서 운전되고 있는 많은 복잡한 공정제어 시스템들은 동작점 부근에서 1차 시간지연 시스템과 유사한 응답특성을 가지므로 본 연구에서는 제어대상으로는 (1)의 1차 시간지연 시스템이, PID 제어기로는 (2)의 표준형이 채택된다. 전체 제어시스템은 Fig. 1로 표시된다.

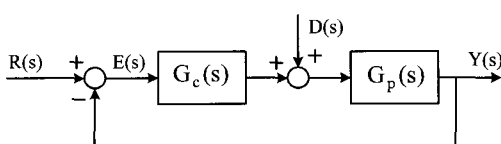


Fig. 1 Unit feedback PID control system

$$G_p(s) = \frac{K e^{-Ls}}{1 + \tau s} \quad (1)$$

$$G_c(s) = K_p \left( 1 + \frac{1}{\tau_i s} + \tau_d s \right) \quad (2)$$

여기서  $R(s)$ ,  $Y(s)$  및  $D(s)$ 는 각각 설정치, 출력, 외란을 나타내고,  $K$ ,  $\tau$ ,  $L$ 은 제어대상의 정상이득, 시정수, 시간지연이며  $K_p$ ,  $\tau_i$ ,  $\tau_d$ 는 제어기의 비례이득, 적분시간, 미분시간을 의미한다. 우수한 제어성능을 보장하기 위해서는 제어기의 세 계수가 제어대상의 통특성에 따라 적절히 조정되어져야 한다. 본 연구에서는 외란제거용 PID 제어기의 동조규칙을 얻는 것이 목적이므로 설정치는 제어시간동안 고정되고, 외란은 단위 계단상으로 변동하는 것으로 간주한다.

오차  $E(s)$ 를  $R(s)$ 와  $D(s)$ 의 함수로 표시하면 다음과 같다.

$$\begin{aligned} E(s) &= \frac{1}{1 + G_c(s)G_p(s)} R(s) - \frac{G_p(s)}{1 + G_c(s)G_p(s)} D(s) \\ &= \frac{T_i \tau s^2 + \tau_i s}{A(s)} R(s) - \frac{K T_i \tau s^2 + K \tau_i s}{B(s)} D(s) \end{aligned} \quad (3a)$$

단,

$$A(s) = (K K_p \tau_i \tau_d + \tau_i^2) s^2 + K K_p \tau_i s + K K_p \quad (3b)$$

$$\begin{aligned} B(s) &= (K K_p \tau_i \tau_d \tau + \tau_i^2) s^3 + (K K_p \tau_i \tau + K K_p \tau_i \tau_d + 2 \tau_i \tau) s^2 \\ &\quad + (K K_p \tau_i + \tau_i + K K_p \tau) s + K K_p \end{aligned} \quad (3c)$$

한편, 주어진 설정치와 외란에 대하여서 PID 제어시스템은 정상편차가 발생되지 않음을 알 수 있다.

## 3. RCGA를 이용한 동조규칙의 유도

### 3.1 최적계수탐색

먼저 제어대상의 매개변수를 변경해가며 성능지수를 최소로 하는 외란제거용 PID 제어기의 최적계수를 얻고, 이를 일반화하여 새로운 동조규칙을 얻는다. 편의상 제어기와 제어대상의 이득을 함께 뮤어 표시하고, 매개변수들을 무차원화하기 위해  $t' = t/\tau$ 라 하면 주파수 영역에서는  $s' = \tau s$ 인 관계가 성립되어 (1)과 (2)는 다음과 같게 된다.

$$G_p'(s') = \frac{e^{-\frac{L}{\tau}s'}}{1 + s'} \quad (4)$$

$$G_c'(s') = KK_p \left( 1 + \frac{1}{\frac{\tau_i}{\tau} s'} + \frac{\tau_d}{\tau} s' \right) \quad (5)$$

이렇게 함으로써 제어대상은 매개변수  $L/\tau$ 만의 함수로 간단히 표시되고, 이를 변경해가며 최적의 계수 집합  $\{\hat{KK}_p, \hat{\tau}_i/\tau, \hat{\tau}_d/\tau\}$ 을 찾는다. Fig. 2는 PID 제어기를 최적 동조하는 블록선도를 보여준다.

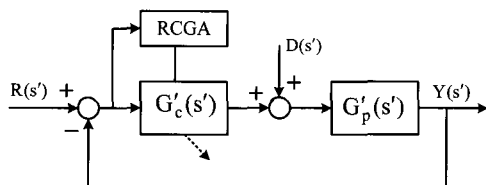


Fig. 2 Optimal tuning of the PID controller

여기서 발생되는 다변수 최적화 문제는 RCGA를 이용하여 해결한다. 실수코딩을 채용함으로써 RCGA의 염색체(Chromosome)는 PID 제어기의 세 계수를 유전자로 가지게 된다. 집단 내 염색체들의 성능이 좋고 나쁨은 적합도 평가를 통해 계량되며, 적합도는 성능지수(목적함수)로부터 계산되어 진다. 본 연구에서는 제어환경에 따라 적절히 선택해서 사용할 수 있도록 제곱오차적분(ISE), 절대오차적분(IAE), 시간곱절대오차적분(ITAE) 세 가지 성능지수를 고려하였다.

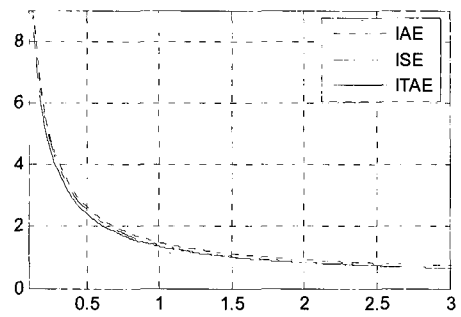
$$\text{ISE} : J_1 = \int_0^{t_f} e^2(t) dt \quad (6)$$

$$\text{IAE} : J_2 = \int_0^{t_f} |e(t)| dt \quad (7)$$

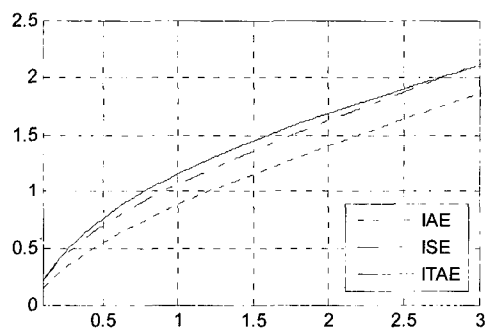
$$\text{ITAE} : J_3 = \int_0^{t_f} t|e(t)| dt \quad (8)$$

$L/\tau$ 를 0 ~ 3 사이에서 변화시키는 동안 설정치를 0으로 고정하고 단위계단 외란을 투입하여 (6)-(8)의 성능지수를 계산하였다. 한편 RCGA의 제어변수(Control variable)로 집단의 크기

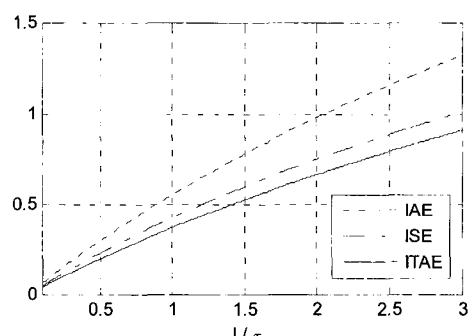
$N = 20$ , 재생산 계수  $n = 1.7$ , 교배확률  $P_c = 0.9$ , 돌연변이 확률  $P_m = 0.05$ 로 하였다[6]. Fig. 3은 세 가지 성능지수에 대해 최적 계수를 구해 그린 것이다.



(a)  $\hat{KK}_p$



(b)  $\hat{\tau}_i/\tau$



(c)  $\hat{\tau}_d/\tau$

Fig. 3 Optimal PID parameters for disturbance rejection

### 3.2 동조규칙의 유도

여기서는 앞 절에서 구한 최적 계수 값과 Fig. 4의 블록선도로부터 새로운 동조규칙을 얻는다.

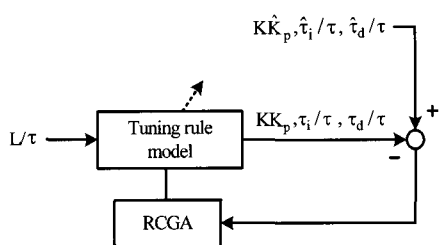


Fig. 4 PID parameter tuning using a RCGA

$L/\tau$ 이 입력되는 동안 RCGA는 동조규칙 모델의 출력  $K_p$ ,  $\tau_i$ ,  $\tau_d$ 와 최적 계수 값이 일치하도록 모델의 파라미터를 연속적으로 조정하게 된다. Table 1은 문헌에 발표된 동조규칙들<sup>[2]-[4]</sup>을 참고하여 경험적으로 선택된 동조규칙 모델이다.

Table 1 Tuning rules for load disturbance rejection

PID parameter	Tuning rule model
$K_p$	$a_0 \left( \frac{\tau}{L} \right)^{a_1}$
$\tau_i/\tau$	$\frac{b_1 + b_2 \frac{L}{\tau}}{1 + b_0 \frac{\tau}{L}}$
$\tau_d/\tau$	$\frac{c_2}{c_0 + c_1 \frac{\tau}{L}}$

여기서 발생되는 최적화 문제에도 RCGA를 적용하며, RCGA는 아래 성능지수가 최소가 되도록 모델의 파라미터를 조정한다.

$$J_0 = \sum_j |K\hat{K}_p - KK_p| \quad (9)$$

$$J_1 = \sum_j |\hat{\tau}_i/\tau - \tau_i/\tau| \quad (10)$$

$$J_2 = \sum_j |\hat{\tau}_d/\tau - \tau_d/\tau| \quad (11)$$

Table 2는 각각의 성능지수에 대해 최종적으로 얻은 동조규칙이다.

### 4. 시뮬레이션 및 검토

제안하는 동조규칙의 효용성을 입증하기 위해 세 개의 제어대상 시스템에 대해 시뮬레이션을 실시하였고, Z-N 과도응답법, Lopez 등이 제안한 외란제거용 동조법(L-ITAE법)<sup>[8]</sup>과 함께 응답을 비교하였다. 제어대상 시스템으로부터 1차 시간지연 모델의 매개변수를 얻는 작업에는 연속시스템의 온라인 파라미터 추정법<sup>[9]</sup>을 적용하였다. 이때  $K, \tau, L$ 은 각각 구간  $0 \leq K \leq 50$ ,  $0 \leq \tau \leq 10$ ,  $0 \leq L \leq 50$ 에서 탐색되었고, 샘플링 시간은  $h = 0.01$ 초로 하였다. 각 방법의 응답을 정량적으로 비교하기 위하여 단위계단 외란이 투입될 때 교란된 응답의 첨두값(Perturbation peak)을  $M_{pk}$ , 이 첨두값에 도달하는 데 걸리는 시간을  $t_{pk}$ , 교란된

Table 2 Tuning rules for load disturbance rejection

Type	PID controller parameters		
	$KK_p$	$\tau_i/\tau$	$\tau_d/\tau$
ISE	$1.544 \left( \frac{\tau}{L} \right)^{0.847}$	$\frac{1.033 + 0.406 \left( \frac{L}{\tau} \right)}{1 + 0.624 \left( \frac{L}{\tau} \right)^{-1}}$	$\frac{9.263}{2.122 + 14.676 \left( \frac{L}{\tau} \right)^{-1}}$
IAE	$1.454 \left( \frac{\tau}{L} \right)^{0.857}$	$\frac{1.092 + 0.446 \left( \frac{L}{\tau} \right)}{1 + 0.438 \left( \frac{L}{\tau} \right)^{-1}}$	$\frac{7.392}{2.293 + 15.157 \left( \frac{L}{\tau} \right)^{-1}}$
ITAE	$1.396 \left( \frac{\tau}{L} \right)^{0.846}$	$\frac{1.619 + 0.316 \left( \frac{L}{\tau} \right)}{1 + 0.664 \left( \frac{L}{\tau} \right)^{-1}}$	$\frac{6.503}{1.903 + 15.796 \left( \frac{L}{\tau} \right)^{-1}}$

응답이 설정치의 2% 내의 범위로 회복되는 시간을  $t_{ry}$ 로 정의하고 사용하였다.

#### 4.1 예제1

먼저 시간지연을 갖는 3차 시스템을 고려하였다.

$$\text{시스템 I: } G_p(s) = \frac{\exp(-s)}{(s+1)(2s+1)(0.5s+1)} \quad (14)$$

1차 시간지연 모델로 근사화하면  $K=1.001$ ,  $\tau=2.306$ ,  $L=2.32$ 를 얻을 수 있고, 시스템 I은  $L/\tau=1.0$ 이고 시간지연과 시정수가 비슷한 경우이다. 근사모델에 대해 Z-N법으로 계산한 제어기 계수는  $K_p=3.071$ ,  $\tau_i=3.500$ ,  $\tau_d=0.875$ 이고 L-ITAE법에 의한 제어기 계수는  $K_p=1.349$ ,  $\tau_i=2.751$ ,  $\tau_d=0.383$ 이다. Fig. 5는 단위계단응답을 그린 것이고 Table 3은 각 방법의  $M_{pk}$ ,  $t_{pk}$ ,  $t_{ry}$ 를 구한 것이다.

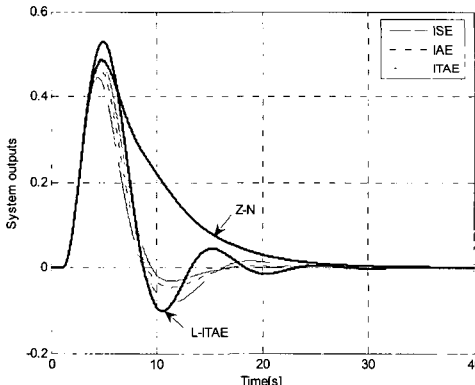


Fig. 5 Response comparison of the PID controllers for system I

Table 3 Performance comparison of the PID tuning methods for system I

	$M_{pk}$	$t_{pk}$	$t_{ry}$
ISE	0.445	4.44	15.11
IAE	0.468	4.58	14.47
ITAE	0.485	4.69	13.38
Z-N	0.489	4.80	20.06
L-ITAE	0.530	4.91	17.30

외란에 의해 교란된 응답들은 시간이 경과됨에 따라 모두 설정치 값에 접근해 가지만 제안한 방법의 응답이 기존의 방법보다 더 양호함을 알 수 있다. 이는 Table 3의 정량적인 비교치를 통해서도 확인할 수 있으며 제안한 방법 중에서  $M_{pk}$ ,  $t_{pk}$ 는 ISE, IAE, ITAE 순으로 작았고,  $t_{ry}$ 는 기대하듯이 ITAE, IAE, ISE 순으로 짧았다.

#### 4.2 예제2

다음은 시간지연이 다소 큰 3차 시스템을 고려하였다.

$$\text{시스템 II: } G_p(s) = \frac{\exp(-5s)}{(s+1)^2(2s+1)} \quad (16)$$

앞의 방법과 같이 1차 시간지연 모델로 근사화하면  $K=1.002$ ,  $\tau=2.497$ ,  $L=6.64$ 를 얻을 수 있다. 시스템 II는  $L/\tau=2.7$ 이고, 시간지연이 시정수보다 큰 경우이다. Z-N법의 제어기 계수는  $K_p=0.537$ ,  $\tau_i=13.280$ ,  $\tau_d=0.1880$ 이고 L-ITAE법의 제어기 계수는  $K_p=0.420$ ,  $\tau_i=6.103$ ,  $\tau_d=2.517$ 이며 동일한 방법으로 응답 실험을 실시하여 세 성능을 구한 것이 Fig. 6과 Table 4이다.

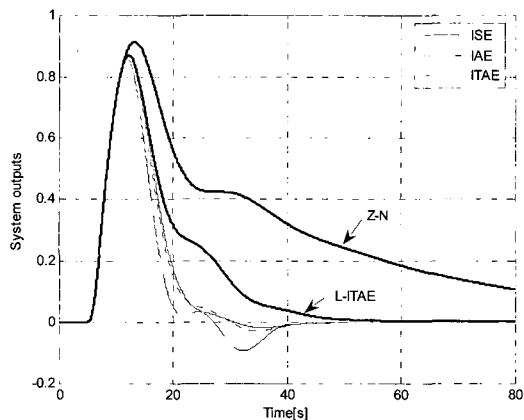


Fig. 6 Response comparison of the PID controllers for system II

**Table 4 Performance comparison of the PID tuning methods for system II**

	$M_{pk}$	$t_{pk}$	$t_{ry}$
ISE	0.859	11.98	38.52
IAE	0.867	12.18	38.43
ITAE	0.871	12.26	27.79
Z-N	0.913	13.27	138.11
L-ITAE	0.870	12.25	44.28

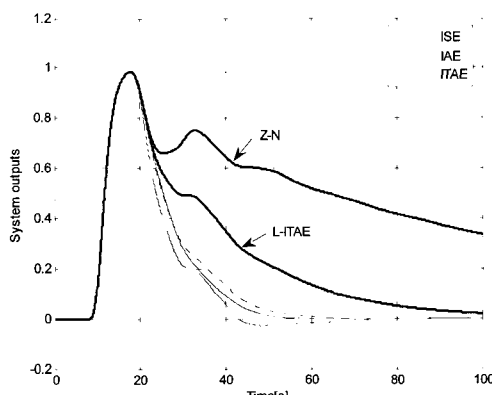
이 경우에도 제안한 방법들이 기존의 방법보다  $M_{pk}$ ,  $t_{pk}$ ,  $t_{ry}$  등에서 더 우수한 성능을 보임을 확인할 수 있다. Z-N법은  $M_{pk}$ 도 뿐 아니라 외란의 영향이 제거되는 회복시간  $t_{ry}$ 도 길다.

#### 4.3 예제3

다음은 동조규칙을 얻는데 사용한 데이터 범위 밖, 즉  $L/\tau > 3$ 의 시스템에 대해 적용 가능성을 살펴보기 위하여 4차 시스템을 고려하였다.

$$\text{시스템 III: } G_p(s) = \frac{\exp(-8s)}{(s+1)^4} \quad (18)$$

이 시스템의 경우  $K=1.001$ ,  $\tau=2.093$ ,  $L=10.08$  을 얻었고  $L/\tau=4.8$ 로서 3보다 큰 경우이다. 사용한 Z-N법의 제어기 계수는  $K_p=0.249$ ,  $\tau_i=20.160$ ,  $\tau_d=5.040$  이고 L-ITAE법은  $K_p=0.306$ ,  $\tau_i=7.930$ ,  $\tau_d=3.810$ 이며 단위계단응답은 Fig.7과 같고 성능은 Table 5와 같다.

**Fig. 7 Response comparison of the PID controllers for system III****Table 5 Performance comparisons of the PID tuning methods for system III**

	$M_{pk}$	$t_{pk}$	$t_{ry}$
ISE	0.984	17.76	56.24
IAE	0.985	17.88	54.32
ITAE	0.986	17.91	48.09
Z-N	0.985	17.84	353.20
L-ITAE	0.985	17.86	100.14

전체적으로 앞의 두 시스템과 유사한 경향을 보이지만,  $L/\tau$ 이 클수록 기존의 방법보다 더 양호한 응답특성을 보여줄 수 있다. 특히  $L/\tau$ 이 큰 경우에 Z-N법은 회복시간이 길어 적용이 쉽지 않다.

## 5. 결 론

본 연구에서는 세 가지 성능지수(ISE, IAE, ITAE)에 대해 외란제거용 PID 제어기의 새로운 동조규칙을 얻는 문제를 다루었다. 먼저 1차 시간지연 모델에 대해서 RCGA는 각 성능지수를 최소화 하도록 PID 계수들을 동조하고, 계산된 계수와 동조규칙 모델과 또 다른 RCGA를 이용하여 새로운 외란제거용 PID 제어기의 동조규칙을 유도하였다. 세 가지 시스템에서 대한 시뮬레이션을 실시하여 제안한 동조규칙들의 성능이 우수함을 보여주며 기존의 두 동조규칙보다 더 나은 결과를 확인할 수 있었다. 외란제거용 공정제어는 실제 현장에서 종종 찾아볼 수 있으므로 제안한 동조법은 유용한 방법이 될 것이다.

## 참고문헌

- [1] Y. Nozaka, "Trend of new control theory application in industrial process control(survey)", Proc. IFAC 12th Triennial World Cong., Vol. 4, pp. 215-218, 1993.
- [2] 김동화, 이은웅, "PID 제어기 튜우닝 기술에 대한 연구현황과 전망", 대한전기학회논문지,

제44권, 제5호, pp. 13-23, 1995.

- [3] J. G. Ziegler and N. B. Nichols, "Optimum setting for PID controllers", Trans. ASME, Vol. 64, pp. 759-768, 1942.
- [4] B. Porter and A. H. Jones, "Genetic tuning of digital PID controllers", Electronic Letters, Vol. 28, No. 9, pp. 843-844, 1992.
- [5] Chia-Ju Wu, "Genetic Tuning of PID Controllers Using a Neural Network Model: A Seesaw Example", J. of Intelligent and Robotic Systems, Vol. 25, pp.43-59, 1999.
- [6] 김도웅, 진강규, "RCGA를 이용한 PID 제어기의 모델기반 동조규칙", 제어·자동화·시스템공학회 논문지, 제8권, 제12호, pp. 1056-1060, 2002.
- [7] 신명호, 김민정, 이윤형, 소명옥, 진강규, "PPGA 기반의 시스템 파라미터 추정과 PID 제어기 동조", 제어·자동화·시스템공학회 논문지, 제12권, 제7호, pp. 644-649, 2006.
- [8] A. M. Lopez, C. L. Miller and C. L. Murill, "Tuning controller with error-integral criteria", Instrumentation Technology, Vol.14(2), pp.57-62, 1967.
- [9] 이현식, 진강규, "연속시스템의 파라미터 추정", 제어·자동화·시스템공학회 논문지, 제4권, 제1호, pp. 76-81, 1998.



**이윤형(李潤炯)**

2002년 한국해양대학교 기관시스템공학부(공학사). 2004년 한국해양대학교 대학원 기관시스템공학과(석사). 현재 한국해양대학교 대학원 메카트로닉스 공학과 박사과정. 관심분야 : 제어이론, 유전알고리즘 응용



**소명옥(蘇明玉)**

1980년 한국해양대학교 기관학과(학사). 1989년 한국해양대학교 대학원 기관학과 석사. 1997년 동 대학원 박사. 한국항만·운송노동연구원 연구위원. 2005~2006년 University of Wales Cardiff 파견교수. 현재 한국해양대학교 선박전자기계공학부 교수.



**하윤수(河潤秀)**

1962년 4월생. 1986년 한국해양대학교 기관학과 졸업. 1990년 동 대학원 졸업(공학석사). 1996년 일본 쓰쿠바대학 대학원 졸업(공학박사). 1996~ 현재 한국해양대학교 IT공학부 부교수



**황승욱(黃勝郁)**

1984년 고려대학교 전자공학과(학사). 1986년 고려대학교 대학원 전자공학과 석사. 1992년 동 대학원 전자공학과 박사. 1986년~1987년 삼성전자 연구원. 1987년~1992년 ETRI 선임연구원. 1992년~현재 한국해양대학교 IT공학부 부교수



**진강규(陳康奎)**

1977년 한국해양대학교 기관학과(학사). 1985년 Florida Institute of Technology, 전기·전자·컴퓨터공학과(석사). 1996년 University of Wales Cardiff, 전기·전자·시스템공학과 박사. 현재 한국해양대학교 IT 공학부 교수.



**김민정(金玟廷)**

2005년 한국해양대학교 기계정보공학부(공학사). 2007년 한국해양대학교 제어계측공학과(석사). 관심분야 : 제어이론, 유전알고리즘 응용